

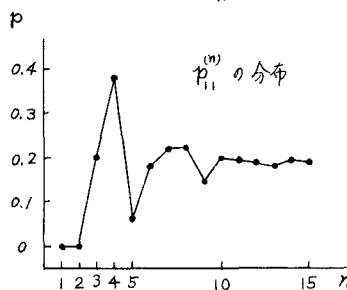
京都大学工学部 正員 庄司光 正員 山本剛夫 正員 西田耕之助 学生員 石川義紀

California では Air Quality Standards が定められ、各汚染源の排出規制が定められており、自動車排気も排出量評価 (C-H; 295 ppm, CO; 1.5%) が定められており。また走行調査から平均の driving pattern (II) の速度条件の時間比が想定されており、しかし、これらの条件の方が 1つの driving cycle を形成するよりも車の走行に近い通常を軽便 mode を挿入して組み合せた方がより実際の driving pattern に似る standards の時間比率もとて示す。II mode cycle がこれで、そのうち 7 mode cycle となり、1966 年には全米の連邦規則にも採用されました。我が国でも 1965 年から排出規制 (CO 3%) が定められ、さらには強化されましたとしている。今日と道路事情が異なることから船舶技術委員会 (mode cycle) による排気の詳細が採用されておりが、これについては基礎資料は明らかでなく、driving mode の時間比 12 キロメートルを推測されています。本研究では市内の走行においてもとて合理的な平均 driving cycle を導くため II 實際の走行による統計的手法により解析した。京都市内で比較的の交通量の大きい中心部の交差点 (20 点) の交通流特性 (直進 63%, 左折 19%, 右折 18%) を加味して 30 通りの路線を選定した。(路線長 0.6~11.8 km, 平均 3.1 km, 走行時間 20.5 秒~36 分 39 秒, 平均 8 分 8 秒, 平均速度 20.4 km/h)。交通流の流れと一致して実験車を走行させ、各ノードの driving pattern をタコグラフ (2 分計) で記録し、エンジンの回転数、manifold vacuum を測定した。driving mode の速度条件 (idle, 0~60 km/h cruise, 60~0 km/h 初期速度 0~60 km/h 終末速度 0~60 km/h 12.5% deceleration) について相対出現頻度、経過時間を測定した。また、連続した二つの driving mode の組合せをもつ單純マルコフ連鎖の理論を適用してとて期待される driving cycle の mode 数 (step) を求めた。その結果を表-1 に示す。① 実測による driving mode の時間比率は平均で idle 30.3%, acceleration 25.8%, cruise 29.0%, deceleration 10.0% で、米国および船舶技術委員会の値と大きく異なった。また、合計 288 回の driving cycle (idle 288, acceleration 38.1, cruise 308, deceleration 359) が記録され、cycle 当りの平均時間は 59.2 秒を示した。② 各 mode の速度条件につれての相対頻度は表-1 に示す。0→60 km/h acceleration, 60→0 km/h cruise, 60→0 km/h deceleration が主である。X が大きくなる。各速度条件の相対時間比もほぼ同様の傾向がみられた。

平均燃費時間は idle は 18.0 秒、60 km/h cruise は 17.5 秒、0→60 km/h acceleration は 14.7 秒、60→0 km/h deceleration は 8.1 秒を示した。③ 連続した二つの driving mode の組合せは合計 1296 で、それまでの起始確率が 0.0 であるとすると遷移確率行列はつきのような確率空間で

表-1 走行 mode の相対頻度(%)
太線枠内は cruise 時
太線枠下部は dec. 上部は acc
0.0 は idle 時 (288 回)

平均速度 km/h		0	5	10	20	30	40	50	60
初期速度 km/h	km/h	4.2	12.1	12.3	13.1	17.3	6.0		
0	4.2	2.3	0.5	3.4	1.6	2.4			
5	4.2	1.1	9.4	1.6	2.4	3.1			
10	10.3	2.2	1.9	15.9	4.5	6.0	1.8		
20	10.3	2.2	1.9	15.9	4.5	6.0	1.8		
30	14.5	1.1	1.9	4.7	26.3	3.7	1.8	0.3	
40	22.0	1.1	3.3	5.6	3.6	36.0	1.6	0.3	
50	7.2	0.3		1.1	1.7	0.8	9.7		
60	0.6					0.3		0.3	

図-2 $p_{11}^{(n)}, f_{11}^{(n)}$ の分布

示される。

$$P = \begin{pmatrix} 0 & 1 & 0 & 0 \\ 0 & 0 & 0.696 & 0.306 \\ 0 & 0.211 & 0 & 0.789 \\ 0.691 & 0.189 & 0.120 & 0 \end{pmatrix}$$

したがって、idle (状態 1) からはじまって n step 目に idle (状態 1) に起る確率 $p_{11}^{(n)}$ ならびに idle からはじまって n step 目にはじめて idle が現れる確率 $f_{11}^{(n)}$ を $n=1$ から 15 までについて求めると図-2 に示す通りで、 $f_{11}^{(n)}$ の最大値は $n=4$ で与えられる。また、理論平均再帰時間 $\mu_1 = 5.285$ ($\sigma_1^2 = 6.718$) を得た。(4). 以上のことをもとに各 mode cycle 12つで可能な組み合せを作製し、実測による相対頻度と相対時間比をもとめ、株点法を用いて探討した。4 mode cycle は 1 種、5 mode cycle は 108 種、6 mode cycle は 239 種の組み合せが考えられた。各速度条件の経続時間は実測平均値を用いた。かくして得られたものが图-3 である。5 mode cycle は実測において相対頻度、相対時間比で最大を示した速度条件の割合が欠けており、市内走行の driving cycle としては不充分である。4 mode cycle は実測平均値にそっても近い driving mode の時間比を示し、cycle 所要時間 + 実測平均相対時間比と同じである。

市内走行の実測において現れた driving cycle の mode 数は 3 ~ 14 step × かなり広い範囲にわたってあり、これらの 4 mode cycle 以外の driving cycle の起る確率を考慮して導いた 6 mode cycle のなかで B 型および C 型は実測から確率的にそそぐべき期待できる driving cycle で、自動車の市内走行の平均 driving pattern としても最も合理的である。

6 mode cycle の B 型と C 型は速度条件の現れの順序が異なるのみで、実測における相対頻度 A は相対時間比のそそぐべき大きさの速度条件のみから形成される。cycle 所要時間は 8.1 秒で、mode の時間比は idle 22.2%, acceleration 36.3%, cruise 21.6%, deceleration 20.0% を示す。

図-3 最適 mode cycles

